

## NEKOTRÉ VZŤAHY PRE VYSOKOTLAKOVÚ NÁDOBU V OBLASTI PRUŽNO-PLASTICKÝCH DEFORMÁCIÍ

ОПТИМАЛЬНА ВОЛБА ПАРАМЕТРОВ  
ВЫСОКОТЛАКОВОЙ НАДОБЫ  
НАМАГАНЕЈ ТЛАКОМ НЕКОЛОКОТИСИЕ АТМОСФЕР

RUDOLF HAVOSSY, Bratislava

Vysokotlaková nádoba je dôležitou súčasťou aparatur určených na vyšetrovanie vlastností plynov a kvapalín pri tlakoch niekoľkokotísie atmosfér [1, 2]. Autor sa s problémom vysokotlakovej nádoby stretol pri experimentoch s termicky ionizovanou plazmou získanou v balistickom kompresore [2]. (V tomto kompresore sa plyn adiabaticky stláča z tlaku  $\sim 1$  atm na niekoľkotísie atmosfér. Takýto dej, vďaka zvýšeniu teploty nad 1000 °K, doprevádza termická ionizácia adiabaticky stláčaného plynu.)

Vysokotlakovú nádobu balistického kompresora, ako aj mnohých iných vysokotlakových zariadení, tvorí hrubostenná trubica. Pri takých vysokých tlakoch sa namiesto jednej trubice o hrúbke steny  $b$  —  $a$  používa sústava dvoch trubíc (ďalej DS) o hrúbkach stien:  $b$  —  $c_1$  a  $c_2$  —  $a$ . Keďže polomer  $c_2$  sa volí väčší ako  $c_1$  (obr. 1), pri zostavovaní takejto sústavy je nevyhnutné vonkajšiu trubiciu nasunúť na vnútornú za tepla. Po vychladnutí v DS vzniká predpätie, vďaka ktorému sa potom môže DS namáhať (v oblasti pružných deformácií) väčším tlakom ako obyčajná trubica tej istej geometrie.

Výpočet napätí obyčajnej hrubostennej trubice v oblasti pružných a pružno-plastických deformácií možno nájsť napr. v [3]. Výpočet napätí pre DS v oblasti pružných deformácií uvádza učebnica [4]. Optimálnou voľbou parametrov DS v tejto oblasti deformácií sa zaoberá práca [5], v ktorej sa vychádza z predpokladu, že najväčší prípustný tlak  $p$  sa dosiahne pri DS zostavenej z trubíc o rovnakej únosnosti, t. j. takých, ktoré pri tlaku  $p$  majú maximálne šmykové napätia rovnaké.

V tomto článku autor poukazuje na to, že optimálne parametre možno určiť aj metódou, pri ktorej sa variujú integrálne konštanty tak, aby riešenie rovnice rovnováhy pre element trubice (1) vyhovovalo príslušným fyzikálnym

podmienkam kladeným na DS. Vďaka všeobecnosti tejto metódy, možno ju použiť aj pri vyšetrovaní DS v oblasti pružno-plastických deformácií, a to aj v prípade závislosti medze klzu  $\sigma_k$  od napätosti materiálu.

### NIKTORÉ VZŤAHY PRE TRUBICU V OBLASTI PRUŽNÝCH A PRUŽNO-PLASTICKÝCH DEFORMÁCIÍ

V článku budeme označovať radiálnu, obvodovú a osovú zložku hlavných napätí ako  $\sigma_r$ ,  $\sigma_\theta$ ,  $\sigma_z$ , príslušné relatívne deformácie ako  $\epsilon_r$ ,  $\epsilon_\theta$ ,  $\epsilon_z$ , absolútnu deformáciu polomeru  $r$  ako  $\Delta$ .

Pre jednoduchosť budeme predpokladať, že obidve trubice DS sú z rovnakého materiálu, charakterizovaného modulom pružnosti  $E \sim 2 \cdot 10^6$  kpcm<sup>-2</sup>, koeficientom lineárnej tepelnej rozťažnosti  $\alpha \sim 1,2 \cdot 10^{-5}$  (°C<sup>-1</sup>), medzou pružnosti totožnou s medzou klzu  $\sigma_k$ , Poissonovou konštantou  $\nu$ , o ktorej znova pre jednoduchosť predpokladáme, že má hodnotu  $\nu = 0,5$ , a to aj v oblasti pružných deformácií. (V tejto oblasti  $\nu \sim 0,3$ .)

Závislosť medze klzu  $\sigma_k$  od napätosti materiálu zanedbávame. (Vplyv tohto javu na maximálne prípustný tlak v DS odhadneme až v dodatku.)

Rovnica rovnováhy pre element trubice má tvar [3]

$$r \frac{d\sigma_r}{dr} + \sigma_r - \sigma_\theta = 0. \quad (1)$$

Ak predpokladáme, že  $\epsilon_z = 0$ , t. j., že trubica sa pozdĺž osi nedeformuje (čo je splnené napríklad v prípade osovo upnutej trubice), potom na základe zovšeobecneného Hookovho zákona medzi napätiami a deformáciami v oblasti pružných deformácií materiálu platia vzťahy [3]

$$\sigma_r + \sigma_\theta = \text{const} = 2A, \quad \sigma_z = 2\nu A, \quad (2a)$$

$$\Delta = \frac{r}{E} [\sigma_\theta - \nu(\sigma_z + \sigma_r)] \sim -\frac{3B}{2Er}. \quad (2b)$$

Z rovníc (1) a (2a) vyplýva, že závislosť radiálneho napätia od polomeru má tvar:

$$\sigma_r = A + \frac{B}{r^2}. \quad (2c)$$

V oblasti malých pružno-plastických deformácií (za predpokladu  $\epsilon_z = 0$ ) medzi napätiami platia vzťahy [3]:

$$\sigma_r - \sigma_\theta = \pm \frac{2\sigma_k}{\sqrt{3}}, \quad 2\sigma_z = \sigma_r + \sigma_\theta. \quad (3a)$$

Z rovníc (1) a (3a) potom pre závislosť radiálneho napätia od polomeru (v oblasti pružno-plastických deformácií) dostaneme výraz:

$$\sigma_r = \mp \frac{2\sigma_k}{\sqrt{3}} \ln r + C. \quad (3b)$$

Konštanty,  $A$ ,  $B$ ,  $C$  v rovniciach (2), (3) sa určujú z príslušných fyzikálnych okrajových podmienok.

### OPTIMÁLNA VOĽBA PARAMETROV DS V OBLASTI PRUŽNÝCH DEFORMÁCIÍ

Uvažujme DS, ktorá vznikla zložením dvoch trubíc o hrúbkach stien:  $c_2 - a$  a  $b - c_1$ , pričom  $\delta = c_2 - c_1 > 0$ , t. j., že teplota vonkajšej trubice sa musela zvýšiť o [4]:

$$\Delta T > \frac{\delta}{\alpha c_1}, \quad (4)$$

aby sa mohla nasunúť na vnútornú trubicu.

Pre každú z trubíc platia vzťahy (2), (3), v dôsledku čoho môžeme napísať:

$$\sigma_r = A_a + \frac{B_a}{r^2}, \dots, \quad \text{pre } a \leq r \leq c,$$

$$\sigma_r = A_b + \frac{B_b}{r^2}, \dots, \quad \text{pre } c \leq r \leq b,$$

kde konštanty  $A$ ,  $B$  určíme z okrajových podmienok, zrejmych z obr. 1

$$-p = A_a + \frac{B_a}{a^2}, \quad 0 = A_b + \frac{B_b}{b^2}, \quad (5a)$$

z podmienky spojitosti  $\sigma_r$  v  $r = c$ :

$$A_a + \frac{B_a}{c^2} = A_b + \frac{B_b}{c^2}. \quad (5b)$$

Ak absolútne deformácie označíme:  $c - c_1 = \Delta_1$ ,  $c - c_2 = \Delta_2$ , pre ktoré platí (obr. 1):

$$\Delta_1 = \delta + \Delta_2,$$

Koeficienty  $A, B, C$  vo vzťahoch (2), (3), tak ako v predšlom, určíme z okrajových podmienok, ktoré sú zrejme z obr. 2:

$$-p = \mp \frac{2\sigma_k}{\sqrt{3}} \ln a + C_a, \quad 0 = \frac{2\sigma_k}{\sqrt{3}} \ln b + C_b \quad (15)$$

a z podmienky spojitosti  $\sigma_r$  v  $r = r_0$  a v  $r = c$ :

$$\mp \frac{2\sigma_k}{\sqrt{3}} \ln r_0 + C_a = A + \frac{B}{r_0^2} \quad (16a)$$

$$A + \frac{B}{c^2} = \frac{2\sigma_k}{\sqrt{3}} \ln c + C_b. \quad (16b)$$

V intervale  $c \leq r \leq b$  berieme pri logaritmickom člene znamienko „+“, keďže pri  $r = b$  je  $\sigma_r = 0$  a  $\sigma_\theta > 0$  (pretože vonkajšia trubica je namáhaná na ťah) z čoho vyplýva, že  $\sigma_r - \sigma_\theta < 0$  [3].

Keďže nepoznáme ani tlak  $p$ , ani  $r_0$  rozhranie medzi oblasťami pružných a pružno-plastických deformácií vnútornej trubice, potom v štyroch rovniciach (15) a (16) máme šesť neznámych parametrov. Je zrejme, že ešte potrebujeme ďalšie dve nezávislé podmienky:

Keďže v  $r = r_0$  je hranica pružných a pružno-plastických deformácií, potom tam podľa vzťahov (2) a (3) platí:

$$\sigma_r - \sigma_\theta = \pm \frac{2B}{\sqrt{3}} = \frac{2B}{r_0^2} \quad (17)$$

Ďalšiu podmienku dostaneme zo vzťahu pre absolútne deformácie polomerov  $c_1$  a  $c_2$ , zrejmeho z obr. 2:

$$\Delta_1 = \delta + \Delta_2, \quad (18)$$

kde

$$\Delta_2 = c - c_2 \sim \frac{3}{2} \frac{B}{Ec} \quad (19a)$$

je daná vzťahom (2b). Deformáciu  $\Delta_1 = c - c_1$  nemôžeme určiť pomocou vzťahu (2b), ktorý platí iba v oblasti pružných deformácií. Deformáciu  $\Delta_1$  môžeme však stanoviť z podmienky neslability plasticky deformovaného materiálu:

$$b^2 - (c_1 + \Delta_1)^2 = (b - \Delta_2)^2 - c_1^2, \quad (19b)$$

okrajovej podmienky  $\sigma_r = 0$  pre  $r = b$  a zo skutočnosti, že pri maximálnom tlaku plastické deformácie práve dosiahli povrch  $r = b$ , v dôsledku čoho pre

$r = b$  vzťahy (2), (3) platia súčasne. Pre príslušnú deformáciu  $\Delta_b$  steny  $r = b$  potom dostaneme hodnotu:

$$\Delta_b = \frac{b}{E} \left( \sigma_\theta - \frac{1}{2} \sigma_z \right) = kb. \quad (19c)$$

Zo vzťahov (19b), (19c) pre deformáciu  $\Delta_1$  vyplýva, že:

$$\Delta_1 \sim \Delta_b \frac{b}{c} = \frac{kb^2}{c}. \quad (19d)$$

Podmienka (18) potom na základe vzťahov (19a), (19d) má v oblasti plastických deformácií konečný tvar:

$$B = \frac{2}{3} Ec\delta - \frac{\sigma_k}{\sqrt{3}} b^2. \quad (20)$$

Riešením sústavy rovníc (15), (16), (17) dostaneme vzťahy:

$$p = \frac{2\sigma_k}{\sqrt{3}} \ln \frac{ab}{c r_0} - \frac{\sigma_k}{\sqrt{3}} + \frac{|B|}{c^2}, \quad \text{pre } B > 0, \quad (21)$$

$$p = \frac{2\sigma_k}{\sqrt{3}} \ln \frac{b r_0}{ac} + \frac{\sigma_k}{\sqrt{3}} - \frac{|B|}{c^2}, \quad \text{pre } B < 0, \quad (22)$$

prícom  $B$  určíme z rovnice (20).

Keďže pri odvodzovaní vzťahov (21) a (22) sme predpokladali, že hranica  $r_0$  leží v intervale:  $a \leq r_0 \leq c$ , potom zo vzťahov (17) a (20) vyplýva, že pri  $\delta$  z intervalu hodnot:

$$k \frac{b^2 - c^2}{c} \leq \delta \leq k \frac{b^2 - a^2}{c} \quad (23)$$

je tlak  $p$  určený vzťahom (22) a pri  $\delta$  z intervalu:

$$k \frac{b^2 + a^2}{c} \leq \delta \leq k \frac{b^2 + c^2}{c} \quad (24)$$

je tlak  $p$  určený vzťahom (21).

Nerovnosti (23) a (24) rozdeľujú plochu  $\delta(c)$  na päť charakteristických oblastí (obr. 7).

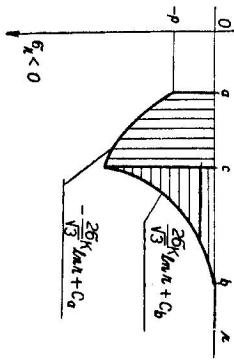
I. oblasť: určuje ju interval:

$$0 \leq \delta \leq k \frac{b^2 - c^2}{c} = \delta_{M1}, \quad (25)$$

pričom charakteristický priebeh radiálneho napätia v tejto oblasti je znázor-  
nený na obr. 3.

Pri  $\delta = 0$  sa DS vlastne redukuje na obyčajnú hrubostennú trubicu s hrúb-  
kou steny  $b - a$ . Ak tlak  $p$  zvyšujeme na vnútornú stenu takejto trubice,  
plastické deformácie sa postupne šíria od  $r = a$  k vonkajšej stene  $r = b$ ,  
ktorú dosiahnu pri tlaku [3]:

$$p_{pl} = \frac{2\sigma_k}{\sqrt{3}} \ln \frac{b}{a}. \quad (26)$$



Obr. 3. Schematický priebeh radiálnej zložky napätia  $\sigma_r$  pozdĺž hrúbky steny DS, charakteristický pre  $\delta$  z 1. oblasti, t. j. z intervalu  $0 \leq \delta \leq \delta_{pl}$ . Pri maximálnom tlaku  $p$  sú vnútorné (zvislé šrafovanie) aj vonkajšia (vodorovné šrafovanie) trubica celé plasticky deformované.

Pri hornej hranici  $\delta_{pl}$  hranica plastických a pružných deformácií práve  
dosiahne vonkajší polomer  $c_0$  vnútornej trubice, a teda:  $r_0 = c$ ,  $B = -\frac{\sigma_k}{\sqrt{3}} c^2 < 0$ ,

v dôsledku čoho tlak  $p$  dosiahne hodnotu (26), ako to vyplýva zo vzťahov  
(20) a (22).

Keďže v celej 1. oblasti (až na hornú hranicu:  $\delta_{pl}$ ) vzťah (23) nie je splnený,  
preto aj tlak  $p$  nemožno určovať z rovnice (22). Môžeme ho však určiť zo sku-  
točnosti, že pri maximálnom tlaku  $p$  (ako vyplýva z úvah na hraniciach inter-  
valu) sú obidve trubice DS deformované plasticky, v dôsledku čoho môžeme  
písať:

$$\sigma_r = \frac{2\sigma_k}{\sqrt{3}} \ln r + C_a, \quad \text{pre } a \leq r \leq c,$$

$$\sigma_r = \frac{2\sigma_k}{\sqrt{3}} \ln r + C_b, \quad \text{pre } c \leq r \leq b.$$

Aj pri logaritmickom člene v intervale  $a \leq r \leq c$  platí znamienko „+“, keďže pri  
hraničnom  $\delta$  je  $B < 0$ .

Z okrajových podmienok, ktoré aj v tejto oblasti majú tvar (15), a z pod-  
mienky spojivosti v  $r = c$  vyplýva, že  $C_a = C_b$ , v dôsledku čoho v celej 1.

oblasti maximálny tlak určuje vzťah (26), ktorý nezávisí od parametrov  
 $c$  a  $\delta$ .

2. oblasť: charakteristický priebeh radiálneho napätia v tejto oblasti zobra-  
zuje obr. 2.

Interval hodnôt  $\delta$  určuje vzťah (23), takže maximálny tlak  $p$  je daný vzťahmi  
(22), (20), (17).

Zo vzťahu (22) vyplýva, že v 2. oblasti možno dosiahnuť maximálne tlak  
 $p = p_{pl}$ , a to pri  $\delta$  z dolnej hranice intervalu (23).

Pre  $\delta$  z hornej hranice tohto intervalu je:  $r_0 = a$ ,  $B = \frac{\sigma_k}{\sqrt{3}} a^2 < 0$ , v dôsled-  
ku čoho  $p$  dosiahne hodnoty:

$$p = \frac{2\sigma_k}{\sqrt{3}} \ln \frac{b}{c} + \frac{\sigma_k}{\sqrt{3}} \left( 1 - \frac{a^2}{c^2} \right) < p_{pl}. \quad (27)$$

Keďže  $r_0 = a$ , pri tlaku (27) bude celá vonkajšia trubica plasticky defor-  
movaná, kým vnútorná trubica je (až na  $r = a$ ) deformovaná pružne.

Vzťah (27) dovoluje overiť neprotirečivosť a jednoduchosť použíwanej teórie  
výpočtu maximálne prípustného tlaku v pružnej a v pružno-plastickej oblasti  
deformácií.

AK je DS realizovaná tak, že súčasne platí:  $r_0 = a$ ,  $c = b$ ,  $\delta = k \frac{b^2 - a^2}{b}$ ,  
potom ako vidieť z obr. 7 alebo zo vzťahu (10) bod  $c = b$ ,  $\delta = \frac{b^2 - a^2}{b}$  z hor-

nej hranice intervalu (23) je súčasne aj bodom, v ktorom (z hľadiska pružných  
deformácií) maximálny tlak dosahuje hodnotu  $p_{pl}$ . V dôsledku tejto skutoč-  
nosti je samozrejme, že tlak

$$p_0 = \frac{\sigma_k}{\sqrt{3}} \left( 1 - \frac{a^2}{b^2} \right), \quad (28)$$

určený zo vzťahu (27), rovná sa tlaku  $p_{pl}$  určenému vzťahom (9).

AK  $c \sim b$ , vonkajšia trubica nemá praktický vplyv na maximálne prípustný  
tlak  $p_0$  v DS. Z uvedeného vidieť, že tlak  $p_0$  musí byť taký ako v prípade oby-  
čajnej trubice s rovnakou hrúbkou steny  $b - a$ . Keďže obyčajná trubica je  
vlastne DS s  $\delta = 0$ , potom pomocou vzťahov (10) a (9) skutočne v prípade  
obyčajnej trubice (v oblasti pružných deformácií) pre maximálne prípustný  
tlak dostaneme hodnotu  $p_0$ .

3. oblasť: určuje ju interval:

$$k \frac{b^2 - a^2}{c} \leq \delta \leq k \frac{b^2 - a^2}{c}, \quad (29)$$

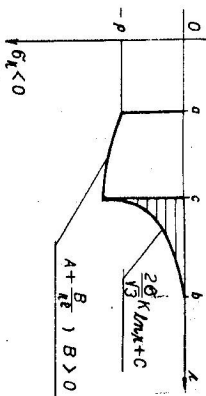
príčom charakteristický priebeh radiálneho napätia v tejto oblasti znázorňuje obr. 4.

Pre dolnú hranicu  $\delta$  platí vzťah (23), a teda tlak (27).

Pre hornú hranicu  $\delta$  platí vzťah (24), a tlak určujú vzťahy (21), (20), (17). Na tejto hranici teda platia vzťahy:

$$r_0 = a, \quad B = \frac{\sigma_k}{\sqrt{3}} a^2 > 0,$$

$$p = \frac{2\sigma_k}{\sqrt{3}} \ln \frac{b}{c} - \frac{\sigma_k}{\sqrt{3}} \left( 1 - \frac{a^2}{c^2} \right) \leq p_{pl}. \quad (30)$$



Obr. 4. Schematický priebeh radiálnej zložky napätia  $\sigma_r$  pozdĺž hrúbky steny DS, charakteristický pre  $\delta$  z 3. oblasti, t. j. z intervalu  $k \frac{b^2 - a^2}{c} < \delta \leq k \frac{b^2 + a^2}{c}$  (obr. 7). Pri maximálnom tlaku  $p$  je vonkajšia trubica (vyšrafovaná časť) celá plasticky deformovaná.

Pre ostatné  $\delta$  tlak  $p$  určíme z podmienky, že v celej 3. oblasti pri maximálnom tlaku  $p$  je vonkajšia trubica úplne plasticky deformovaná, kým vo vnútornej sú iba pružné deformácie. (Táto skutočnosť vyplýva z úvah na hraniciach intervalu (29)). Z uvedeného vyplýva (pozri obr. 4), že okrajové podmienky budú mať tvar:

$$\frac{2\sigma_k}{\sqrt{3}} \ln b + C = 0, \quad -p = A + \frac{B}{a^2}$$

a podmienku spojitosti v  $r = c$  môžeme písať ako:

$$A + \frac{B}{c^2} = \frac{2\sigma_k}{\sqrt{3}} \ln c + C.$$

Z týchto rovníc vyplýva, že v 3. oblasti je tlak  $p$  daný vzťahom:

$$p = \frac{2\sigma_k}{\sqrt{3}} \ln \frac{b}{c} - \left( \frac{1}{a^2} - \frac{1}{c^2} \right) B, \quad (31)$$

Kde  $B$  určíme zo vzorca (20), ktorý platí aj v tejto oblasti, keďže tu platia vzťahy (18), (19a), (19d), z ktorých bol odvodený. (V 1. oblasti vzťah (20) neplatí, pretože tam neplatí ani vzťah (19a). Ako uvidíme ďalej, vzťah (20) z rovnakej príčiny neplatí ani v 5. oblasti.)

Zo vzťahu (31) vidieť, že pre

$$B = \frac{2\sigma_k}{\sqrt{3}} \frac{c^2 a^2}{c^2 - a^2} \ln \frac{b}{c} \geq 0, \quad (32)$$

je  $p = 0$ , čo znamená, že napätia, ktoré vznikajú od  $\delta$  určeného rovnicami (20), (32), sú už také veľké, že plasticky deformujú celú vonkajšiu trubici. Podmienka (32) určuje teda hornú hranicu prípustných hodnôt  $\delta$ .

Zo vzťahu (20), (32) vyplýva, že pri  $B = 0$  je

$$c = b, \quad \delta = kb,$$

$$\text{pri } B = \frac{\sigma_k}{\sqrt{3}} a^2 \text{ a } a^2 \ll b^2 \text{ je } c \sim \frac{b}{e}, \quad \delta = k \frac{b^2 + a^2}{c}.$$

4. oblast: charakteristický priebeh radiálneho napätia v tejto oblasti zobrazuje obr. 5.

Interval hodnôt  $\delta$  určuje vzťah (24) a maximálny tlak  $p$  dodávajú vzťahy (17), (20), (21).

V tejto oblasti sa dá maximálne dosiahnuť tlak (30), a to na dolnej hranici intervalu (24).

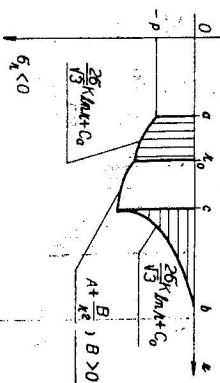
Ako sme už ukázali, výraz (30) je nulový pre  $c \sim \frac{b}{e}$ .

Na hornej hranici, podľa (21), má tlak  $p$  hodnotu:

$$p = \frac{2\sigma_k}{\sqrt{3}} \ln \frac{ab}{c^2} \leq \frac{2\sigma_k}{\sqrt{3}} \ln \frac{b}{a}. \quad (33)$$

Z (33) vyplýva, že pri  $\delta$  z hornej hranice intervalu (24), t. j. pri  $\delta = k \frac{b^2 + a^2}{c}$ , je  $p = 0$ , ak  $c = \sqrt{ab}$ .

Obr. 5. Schematický priebeh radiálnej zložky napätia  $\sigma_r$  pozdĺž hrúbky steny DS, charakteristický pre  $\delta$  zo 4. oblasti, t. j. z intervalu  $k \frac{b^2 + a^2}{c} < \delta \leq k \frac{b^2 + a^2}{c}$  (obr. 7). Pri maximálnom tlaku  $p$  plastické deformácie zasiahnu celú vonkajšiu trubici (vodorovne šrafované) a časť vnútornej trubice  $r_0 = a$  (zvislé šrafovanie).



Z uvedeného vidieť, že 4. oblasť sa dá dosiahnuť iba pri  $c \leq b/\sqrt{e}$ , a 5. oblasť iba pri  $c \leq \sqrt{ab}$ .

Zo vzťahu (21) dostaneme podmienku pre maximálne prípustné hodnoty  $\delta$ , analogickú vzťahu (32) v tvare:

$$B = c^2 \left( \frac{\sigma_k}{\sqrt{3}} - \frac{2\sigma_k}{\sqrt{3}} \ln \frac{ab}{c r_0} \right) c^2 > 0. \quad (34)$$

Maximálnu hodnotu  $\delta$  určujú nielen vzťahy (20) a (32), (34), ale aj metóda použitá pri realizácii DS.

Ak pri zostavení DS sa na odstránenie rozdielu polomerov  $\delta$  používa vyššia teplota vonkajšej trubice, potom pri realizácii DS vo 4. oblasti je nevyhnutné splniť podmienku:

$$\Delta T > \frac{k}{\alpha} \frac{b^2 + a^2}{c^2} > \frac{k}{\alpha} e \sim 600^\circ \text{C}, \quad (35)$$

vyplývajúcu zo vzťahov (4) a (24). Zo vzťahu (35) vyplýva, že uvedená metóda v prípade DS z kvalitatívnej ocele prakticky nedovoľuje realizovať 4. oblasť.

5. oblasť: určuje ju interval:

$$\delta \geq k \frac{b^2 + c^2}{c}, \quad (36)$$

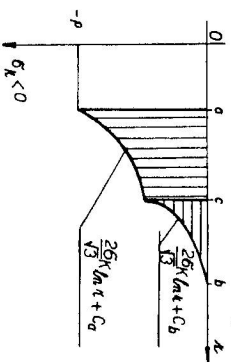
príčom charakteristický priebeh radálneho napätia v tejto oblasti znázorňuje obr. 6.

Na dolnej hranici tejto oblasti tlak  $p$  určuje vzťah (33).

V ostrej časti oblasti neplatí vzťah (24), a teda tlak pomocou rovnice (21) nemožeme určiť. Môžeme ho však určiť zo skutočnosti, že pri maximálnom tlaku sú v tejto oblasti obidve trubice DS plásticky deformované (na dolnej hranici je  $r_0 = c$ ).

Okrajové podmienky (15), zrejme z obr. 6, potom budú mať tvar

$$-p = -\frac{2\sigma_k}{\sqrt{3}} \ln a + C_a, \quad 0 = \frac{2\sigma_k}{\sqrt{3}} \ln b + C_b.$$



Obr. 6. Schematický priebeh radálnej zložky napätia  $\sigma_r$  pozdĺž hrúbky steny DS, charakteristický pre  $\delta$  z 5. oblasti, t. j. z intervalu  $k \frac{b^2 + c^2}{c} \leq \delta$  (obr. 7). Pri maximálnom tlaku  $p$  sú vonkajšia časť (vodrovne sraňované) aj vnútorná (zvislé sraňované) trubica celé plásticky deformované.

Pri logaritmickej člene pre vnútornú trubici je znamienko „-“, keďže na hranici je  $B > 0$ .

Spojitosť radálneho napätia v  $r = c$  dáva vzťah:

$$-\frac{2\sigma_k}{\sqrt{3}} \ln c + C_a = \frac{2\sigma_k}{\sqrt{3}} \ln c + C_b.$$

Pre maximálny tlak v 5. oblasti potom dostaneme vzťah:

$$p = \frac{2\sigma_k}{\sqrt{3}} \ln \frac{ab}{c^2} \leq p_{el}. \quad (37)$$

Zo vzťahu (37) vidieť, že iba pre  $c \leq \sqrt{ab}$  je  $p \geq 0$ . Táto skutočnosť je pochopiteľná, keďže v 5. oblasti je napätie vyvolané rozdielom  $\delta$  spoločného polomeru  $c$  už také veľké, že plásticky deformuje DS. Pri  $c > \sqrt{ab}$  má vonkajšia trubica v porovnaní s vnútornou väčšiu únosnosť, a preto bude celá plásticky deformovaná skôr ako vnútorná. Vonkajšia trubica je namáhaná na ťah, preto, keď plástické deformácie dosiahnu  $r = b$ , materiál začne „tiecť“, pretože tento stav je nerovnovážny [3], a DS sa poruší.

V prípade  $c < \sqrt{ab}$  vnútorná trubica má menšiu únosnosť v porovnaní s vonkajšou, preto plástické deformácie dosiahnu skôr  $r = c$ , ako  $r = b$ . V 5. oblasti je vnútorná trubica namáhaná na tlak (na hranici je  $B > 0$ ), takže aj v prípade, keď bude celá plásticky deformovaná, bude v rovnovážnom stave (nebude „tiecť“), čo umožňuje zvýšiť tlak  $p$  až na hodnotu, pri ktorej plástické deformácie vonkajšej trubice dosiahnu  $r = b$ .

Zo vzťahov (4) a (36) vyplýva, že na odstránenie počiatočného rozdielu polomerov  $\delta$  by bolo potrebné dosiahnuť rozdiel teplôt vonkajšej a vnútornej trubice:

$$\Delta T > \frac{k}{\alpha} \cdot \frac{b^2 + c^2}{c^2} \geq \frac{k}{\alpha} \left( 1 + \frac{b}{a} \right) \sim 2000^\circ \text{C},$$

ktorý sa v prípade hrubostenej DS z kvalitatívnej ocele nedá realizovať.

Z porovnania vzťahov (26), (27), (31), (33), (37) vidieť, že DS možno maximálne namáhať tlakom  $p_{pl}$  určeným vzťahom (26). Tento tlak možno dosiahnuť v celej realizovateľnej časti I. oblasti.

#### ZÁVER

Riešenie rovnice rovnice (1), pre element trubice, s prislušnými fyzikálnymi okrajovými podmienkami umožňuje neprotivne opísať vlastnosti vysokotlakovej nádoby vytvorenej z dvoch na seba nalisovaných trubíc.

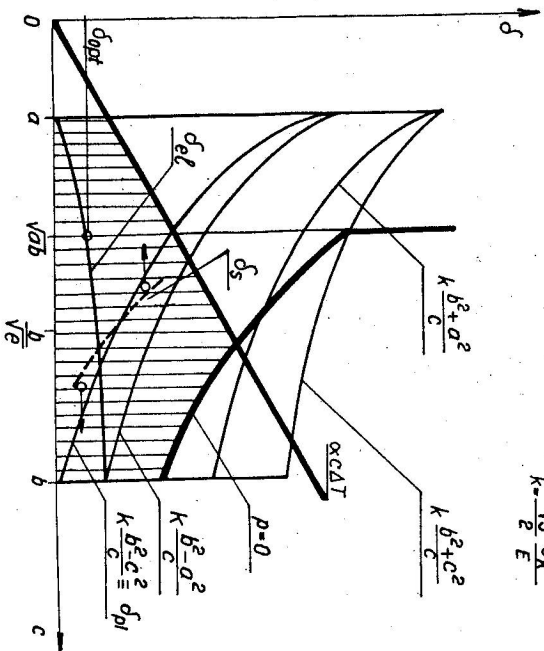
V oblasti pružných deformácií možno vysokotlakovú nádobu tohto typu maximálne namáhať vnútorným tlakom (obr. 1):

$$p_{opt} = \frac{2\sigma_k}{\sqrt{3}} \left( 1 - \frac{a}{b} \right), \quad (14)$$

a to v prípade, že počiatkový rozdiel  $\delta$  v polomeroch  $c_1, c_2$  má hodnotu:

$$\delta_{opt} = k \frac{b-a}{b} \sqrt{ab}, \quad k = \frac{\sqrt{3}}{2} \frac{\sigma_k}{E} \quad (13)$$

a veľkosť spoločného polomeru je:  $c_{opt} = \sqrt{ab}$ . (12)



Obr. 7. Schematické rozdelenie hodnôt počiatkového rozdielu  $\delta$  polomerov  $c_1, c_2$  na charakteristické oblasti z hľadiska maximálneho tlaku v oblasti pružno-plastických deformácií. V optimálnej oblasti hodnôt  $\delta$  určenej intervalom  $0 \leq \delta \leq \delta_{opt}$  je maximálny tlak  $p_{opt}$  určený vzťahom (26). Pri realizácii DS (s parametrami  $\delta, c$  vo vyššie uvádzanej oblasti) možno na odstránenie počiatkového rozdielu  $\delta$  v spoločnom polomere  $c$  použiť teplotný rozdiel  $\Delta T < 400^\circ\text{C}$ . Prerušovaná čiara  $\delta_s$  ukazuje priebeh hornej hranice optimálnych hodnôt  $\delta_{opt}$  v prípade závislosti medzi klzou  $\sigma_s$  materiálú od napätí. Pri uvažovaní tejto závislosti má DS charakterizovanú veľkosťami  $\delta, c$  označenými krúžkom rovnaké vlastnosti ako DS s hodnotami  $\delta, c$  určenými hrotoom šípky a s medzou klzu  $\sigma_s$  nezávislou od napätí. Z hľadiska maximálneho tlaku v oblasti pružných deformácií pri danom polomere  $c$  je najvýhodnejšie voľiť  $\delta$  určené krivkou  $\delta_{el}$ . Optimálna hodnota  $\delta_{opt}, c_{opt}$  parametrov  $\delta, c$  určené vzťahmi (12), (13) je označená krúžkom.

DS s optimálnymi parametrami možno realizovať napríklad tak, že počiatkový rozdiel  $\delta_{opt}$  sa dočasne odstráni vďaka vyššej teplote vonkajšej trubice. Trubice s teplotným rozdielom

$$\Delta T > \frac{k}{\alpha} \left( 1 - \frac{a}{b} \right) \quad (14)$$

sa potom nalisujú na seba.

V oblasti pružno-plastických deformácií možno DS namáhať maximálne tlakom

$$p_{pl} = \frac{2\sigma_k}{\sqrt{3}} \ln \frac{b}{a}, \quad (26)$$

a to v 1. oblasti, v ktorej počiatkový rozdiel  $\delta$  je z intervalu hodnôt (obr. 7):

$$0 \leq \delta \leq k \frac{b^2 - c^2}{c} = \delta_{pl}, \quad (25)$$

Parametre  $c_{opt}, \delta_{opt}$  sú optimálne aj z hľadiska pružnoplástických deformácií, a to aj v prípade, keď uvažujeme závislosť medze klzu od napätí (2D), ktorú sme v doterajších úvahách zanedbávali (pozri dodatok).

Keď uvažujeme aj túto závislosť, potom pre maximálny tlak  $p_{max}$ , ktorým možno namáhať DS, dostaneme výraz:

$$p_{max} = \frac{\sigma_k}{q} \left( e^{\frac{q\xi}{a}} - 1 \right), \quad \text{kde } \xi = 2 \ln \frac{b}{a}. \quad (13D)$$

Vzťah (13D) platí pre DS, ktorých  $\delta$  je z intervalu:  $0 \leq \delta \leq \delta_s$ , pričom horná hranica intervalu má kvalitatívne takéto vlastnosti (obr. 7):  $\delta_{opt} < \delta_s$  pre

$$c < \frac{b}{\sqrt{e}} \quad \text{a} \quad \delta_{pl} > \delta_s \quad \text{pre} \quad c > \frac{b}{\sqrt{e}}.$$

Vzťah (26) je limitným prípadom ( $q \rightarrow 0$ ) rovnice (13D).

Obyčajná trubica je vlastne špeciálnym prípadom DS s parametrom  $\delta = 0$ . Takúto DS možno pružne deformovať maximálne tlakom:

$$p_0 = \frac{\sigma_k}{\sqrt{3}} \left( 1 - \frac{a^2}{b^2} \right). \quad (28)$$

Z porovnania vzťahov (11) a (28) vyplýva, že DS pri vhodnej voľbe parametrov  $c$  a  $\delta$  umožňuje zvýšiť prípustné namáhanie v oblasti pružných deformácií v pomere:

$$2 > \frac{p_{opt}}{p_0} = \frac{2b}{a+b} > 1.$$

V pružno-plastickej oblasti deformácií je maximálne prípustný tlak v obyčajnej trubici určený vzťahom (26), resp. (13D), z čoho vidieť, že z hľadiska plastických deformácií dvojtrubicová sústava nie je výhodnejšia ako obyčajná hrubostenná trubica rovnakej geometrie.

Z porovnania vzťahov (26) a (13D) vyplýva, že pri  $\xi \approx 2,3$ ,  $q \sim 0,3 \sqrt{3}$  dôjde ku zvýšeniu prípustného tlaku  $p_{pl}$  v pomere:

$$\frac{p_{max}}{p_{pl}} = \frac{\sqrt{3}}{q\xi} \left( e^{\frac{q\xi}{q+1}} - 1 \right) \geq 1. \quad (15D)$$

Na ilustráciu možno uviesť, že pri  $a = 1,3$  cm,  $b = 10$  cm,  $\sigma_e \sim 6 \cdot 10^8$  kpcm<sup>-2</sup> je najvýhodnejšie voľiť DS s parametrami  $c_{opt} \sim 3,6$  cm,  $\delta_{opt} \sim 8 \cdot 10^{-3}$  cm.

Pri realizácii takejto DS je nevyhnutné vytvoriť teplotný rozdiel  $\Delta T > 195$  °C.

DS s takýmto parametrami môžeme v oblasti pružných deformácií zaťažiť maximálne tlakom  $p_{opt} \sim 6000$  kpcm<sup>-2</sup>.

Optimálna voľba  $c$  a  $\delta$  umožňuje zvýšiť tlak  $p$  1,7-krát v porovnaní s prípustným tlakom  $p_0 \sim 3400$  kpcm<sup>-2</sup> pri obyčajnej trubici s rovnakými polomermi  $a, b$ .

V oblasti pružno-plastických deformácií možno DS s uvedenými parametrami namáhať maximálne tlakom  $p_{pl} \sim 14200$  kpcm<sup>-2</sup>.

Keďže  $a < \frac{b}{e}$ , sme oprávnení použiť vzťah (13D), z ktorého vyplýva, že DS s uvedenými optimálnymi parametrami možno namáhať maximálne tlakom  $p_{max} \sim 17700$  kpcm<sup>-2</sup>, čo znamená, že závislosť medze klzu  $\sigma_k$  od napätí vyvoláva zvýšenie maximálneho prípustného tlaku  $p_{pl}$  o 25 %.

#### DODATOK

Ak napätosť charakterizujeme stredným hydrostatickým tlakom,  $\bar{\sigma} = \frac{1}{3}(\sigma_r + \sigma_\theta + \sigma_z)$ , potom závislosť medze klzu  $\sigma$  od napätí môžeme písať v tvare:

$$\sigma = S(\bar{\sigma}). \quad (1D)$$

V celom dodatku medzi klzu označujeme ako  $\sigma$ , ak táto závisť od napätí, kým  $\sigma_e$  aj naďalej označuje konštantu materiálu nezávislú od napätí, vystupujúcu v experimentálne určenej závislosti  $S(\bar{\sigma})$  pre ocel [5]:

$$S = \sigma_e - q\sigma, \quad (2D)$$

prícom  $q \sim 0,3 \sqrt{3} > 0$ .

Ďalej určíme niektoré vzťahy pre DS v I. oblasti.

Výpočtom napätí pre všeobecný tvar závislosti  $S$  danej výrazom (1D) sa zaoberá práca [5]. Keďže však výpočet v uvedenej monografii zaťažuje systématická chyba v znamienku, potom získaný výsledok poskytuje príliš vysoký odhad pre maximálny tlak, na čo upozorňujú aj sami autori [5]. Z týchto príčin tu načrtáme výpočet napätí, pri závislosti  $\sigma$  od napätí danej vzťahmi (1D), (2D):

Rovnica rovnováhy (1) pre element trubice:

$$r \frac{d\sigma_r}{dr} + \sigma_r - \sigma_\theta = 0 \quad (3D)$$

platí úplne všeobecne. Podobne všeobecnú platnosť v oblasti pružno-plastických deformácií osve upnutkej trubice majú aj vzťahy (3a)

$$\sigma_r - \sigma_\theta = \pm \frac{2\sigma}{\sqrt{3}}, \quad \sigma_z = \bar{\sigma} = \frac{\sigma_r + \sigma_\theta}{2}. \quad (4D)$$

Ak predpokladáme, že  $\sigma$  v rovniciach (4D) určuje závislosť (1D), potom rovnice (4D) a (3D) môžeme redukovať na sústavu rovníc:

$$\sigma_r = \bar{\sigma} \pm \frac{S(\bar{\sigma})}{\sqrt{3}}, \quad (5D)$$

$$\left[ \frac{\sqrt{3}}{S(\bar{\sigma})} \pm \frac{S'(\bar{\sigma})}{S(\bar{\sigma})} \right] d\bar{\sigma} = \mp \frac{2}{r} dr. \quad (6D)$$

Všeobecné riešenie rovnice (6D) má implicitný tvar:

$$\sqrt{3} \int_{\bar{\sigma}_1}^{\bar{\sigma}_2} \frac{d\bar{\sigma}}{S(\bar{\sigma})} = \mp \ln \frac{r_2^2 S(\bar{\sigma}_2)}{r_1^2 S(\bar{\sigma}_1)}, \quad (7D)$$

kde hodnoty  $\bar{\sigma}$  pre  $r = r_1$ , resp.  $r = r_2$ , sú  $\bar{\sigma}_{r_1}$ , resp.  $\bar{\sigma}_{r_2}$ , a môžeme ich určiť z okrajových podmienok, ktoré dostaneme zo vzťahu (5D):

$$\sigma_r = -p_{r_1} - p_{r_2} = \bar{\sigma}_{r_1} \pm \frac{S(\bar{\sigma}_{r_1})}{\sqrt{3}}, \quad \text{pre } r = r_1, \quad (8D)$$

$$\sigma_r = -p_{r_2} - p_{r_1} = \bar{\sigma}_{r_2} \pm \frac{S(\bar{\sigma}_{r_2})}{\sqrt{3}}, \quad \text{pre } r = r_2.$$

Ako sme už uviedli v predchádzajúcom, prakticky najväčší význam má DS v I. oblasti, t. j. vtedy, keď pri maximálnom tlaku  $p$  sú obidve trubice



plasticky deformované. V tejto oblasti pre obidve trubice vo vzťahu (4D) platí znamienko „—“, t. j., že vo všetkých doteraz uvedených vzťahoch, ktoré sú všeobecné, platí dolné znamienko.

Všetky uvedené vzťahy môžeme aplikovať na každú trubicu DS osobitne. Potom môžeme napísať:

$$\sqrt{3} \int_{\bar{\sigma}_a}^{\bar{\sigma}_b} \frac{d\bar{\sigma}}{S(\bar{\sigma})} = \ln \frac{b^2}{c^2} \frac{S(\bar{\sigma}_b)}{S(\bar{\sigma}_a)}, \quad (9D)$$

$$\sqrt{3} \int_{\bar{\sigma}_a}^{\bar{\sigma}_c} \frac{d\bar{\sigma}}{S(\bar{\sigma})} = \ln \frac{c^2}{a^2} \frac{S(\bar{\sigma}_c)}{S(\bar{\sigma}_a)}, \quad (10D)$$

Kde  $\bar{\sigma}_a$ , resp.  $\bar{\sigma}_c$ , znamená hodnotu  $\bar{\sigma}$  v  $r = c$  vnútornej, resp. vonkajšej trubice. Z podmienky spojitosti  $\sigma_r$  v  $r = c$  však dostaneme, že v 1. oblasti (v iných to nemusí platiť) je  $\bar{\sigma}_c = \bar{\sigma}_a$ . Potom z rovníc (9D), (10D) dostaneme podmienku

$$\sqrt{3} \int_{\bar{\sigma}_a}^{\bar{\sigma}_c} \frac{d\bar{\sigma}}{S(\bar{\sigma})} = \ln \frac{b^2}{a^2} \frac{S(\bar{\sigma}_b)}{S(\bar{\sigma}_a)}, \quad (11D)$$

príčom  $\bar{\sigma}_a$ ,  $\bar{\sigma}_b$  určíme z okrajových podmienok (8D), ktoré budú mať tvar:

$$-p = \bar{\sigma}_a - \frac{S(\bar{\sigma}_a)}{\sqrt{3}}, \quad 0 = \bar{\sigma}_b - \frac{S(\bar{\sigma}_b)}{\sqrt{3}}. \quad (12D)$$

Keďže v troch rovniciach (11D), (12D) vystupujú tri premenné parametre  $\bar{\sigma}_a$ ,  $\bar{\sigma}_b$ ,  $p$ , potom z nich môžeme jednoznačne určiť tlak  $p$ . Ak však uvedené vzťahy nezávisia od spoločného polomeru  $c$ , potom pre celú 1. oblasť, a teda aj pre obyčajnú trubicu ( $c = a$ ), vzťahy (11D), (12D) dávajú rovnaký maximálne prípustný tlak  $p_{\max}$ .

Vidieť, že aj z hľadiska plastických deformácií materiálu so všeobecnou závislosťou medze tečenia (1D), nie je DS výhodnejšia ako obyčajná hrubostená trubica s rovnakou hrúbkou steny  $b - a$ .

Ak predpokladáme konkrétny tvar závislosti  $\sigma$  podľa (2D), potom zo vzťahov (2D), (11D), (12D) dostaneme, že v 1. oblasti možno DS namáhať maximálne tlakom

$$p_{\max} = \frac{\sigma_k}{q} \left( e^{\frac{q\xi}{q+1/\sqrt{3}} - 1} \right), \quad (13D)$$

$$\text{ kde } \xi = 2 \ln \frac{b}{a}.$$

V limitnom prípade ( $q \rightarrow 0$ ) dostaneme známy vzťah (26):

$$p_{pl} = \frac{\sigma_k \xi}{\sqrt{3}} = \frac{2\sigma_k}{\sqrt{3}} \ln \frac{b}{a}. \quad (14D)$$

Zo vzťahov (13D), (14D) vyplýva, že ak:  $q \sim 0,3\sqrt{3}$ , potom pre  $\xi \approx 2,3$  alebo inak,  $a \lesssim 0,32b$  je  $p_{\max} \approx p_{pl}$ .

Pri  $\xi = 4,1$ , je

$$\frac{p_{\max}}{p_{pl}} = \frac{\sqrt{3}}{q\xi} \left( e^{\frac{q\xi}{q+1/\sqrt{3}} - 1} \right) \sim 1,25, \quad (15D)$$

kým podľa [5] by pomer  $\frac{p_{\max}}{p_{pl}}$  pre  $\xi = 4,1$  bol daný výrazom

$$\frac{p_{\max}}{p_{pl}} = \frac{\sqrt{3}}{q\xi} \left( e^{\frac{q\xi}{\sqrt{3}-q} - 1} \right) \sim 4, \quad (16D)$$

čo by pri  $\sigma_k \sim 6 \cdot 10^8 \text{ kpcm}^{-2}$  predstavovalo zvýšenie prípustného tlaku  $p_{pl} \sim 1,4 \cdot 10^8 \text{ kpcm}^{-2}$ , vďaka závislosti  $S(\bar{\sigma}_k)$  od hodnoty  $p_{\max} \sim 5,6 \cdot 10^8 \text{ kpcm}^{-2}$ , ktorá je príliš vysoká.

Treba ešte poznamenať, že horná hranica 1. oblasti daná výrazom (25):

$$\delta_{pl} = \frac{\sqrt{3}}{2} \frac{\sigma}{E} \frac{b^2 - c^2}{c} \quad (17D)$$

predstavuje iba priblíženie pre prípad, že  $\sigma = \sigma_k$ .

Príbeh skutočnej hranice  $\delta_s$  môžeme kvalitatívne určiť takto:

Pre  $\delta_{pl}$  z (17D) je pri maximálnom tlaku  $p$  hranica  $r_0$  pružných a pružno-plastických deformácií v  $r = c$ . Potom podľa vzťahov (2), (4D), (15), (16) pre  $\bar{\sigma}_a$  dostaneme:

$$\bar{\sigma}_a = A \sim \frac{\sigma_k}{\sqrt{3}} - \frac{2\sigma_k}{\sqrt{3}} \ln \frac{b}{c}. \quad (18D)$$

Zo vzťahu (18D) je zrejmé, že pri  $c \sim \frac{b}{\sqrt{e}}$  je  $\bar{\sigma} = 0$ , a teda  $\sigma = \sigma_k$ , v dôsledku čoho je hranica (17D) pre toto  $c$  určená správne, t. j.  $\delta_s \sim \delta_{pl}$ .

Pre  $c > \frac{b}{\sqrt{e}}$  je  $\bar{\sigma} > 0$ , v dôsledku čoho je  $\delta_s < \delta_{pl}$ . Analogicky, pre  $c <$

$< \frac{b}{\sqrt{e}}$  je  $\bar{\sigma} < 0$ , a teda  $\delta_s > \delta_{pl}$  (obr. 7).

Tento výsledok pre  $\delta_s$  je v zhode s uvedeným tvrdením, že pre  $a \lesssim 0,32b < \frac{b}{\sqrt{e}}$  je  $p_{\max}/p_{pl} \approx 1$ .

Skutočne, pri  $c < 0,32b$  možno vonkajšiu trubicu namáhať v skutočnosti vyšším tlakom ako  $p_{pl}$  určeným pre  $q = 0$ , t. j., že vplyv (1D) je ekvivalentný zmenšovaniu  $c$ , ktoré sa však prejaví ako prechod okrajových bodov 2. oblasti do 1. oblasti (pozri obr. 7). Z uvedeného vyplýva, že pre  $c < 0,32b$  je  $\delta_s > \delta_{pl}$ . Pri  $c > 0,32b$  možno vonkajšiu trubicu v skutočnosti namáhať iba nižším tlakom ako  $p_{pl}$ , takže vplyv (1D) je ekvivalentný zväžšeniu  $c$  (pri konstantom  $b$ ), čo sa geometricky prejaví ako prechod bodov z 1. oblasti do 2. oblasti, a teda  $\delta_s < \delta_{pl}$  (obr. 7).

Existencia uvedených efektov je pochopiteľná, pretože podľa vzťahu (12D) je  $\bar{\sigma}_b$  vždy kladné. Keďže na základe vzťahu (5D) sa  $\bar{\sigma}$  vo vonkajšej trubici môže meniť iba spojitě, potom na to, aby sa začal prejavovať zvyšujúci účinok závislosti (1D) od maximálneho tlaku  $p_{pl}$  (t. j., aby bolo  $\bar{\sigma} < 0$ ), je potrebná akási minimálna hrúbka  $b - c$  vonkajšej trubice. Pri hrúbke  $b - c > 0,32b$  je podľa (15D)  $p_{\max}/p_{pl} = 1$ , čo znamená, že pri tejto hrúbke sa už znižujúci účinok vonkajšej oblasti vonkajšej trubice práve kompenzuje zvyšujúcim účinkom jej vnútornej oblasti.

Z tohto vidieť, že charakteristická hrúbka steny vonkajšej trubice určená z podmienky  $\bar{\sigma} = 0$  je menšia ako hrúbka určená z podmienky  $p_{\max}/p_{pl} = 1$ . Uvedené odhady túto skutočnosť potvrdzujú, pretože platí:

$$(1 - 0,32)b > \left(1 - \frac{1}{\sqrt{e}}\right)b.$$

Na záver by sa chcel autor poďakovať prof. RNDr. Štefanovi Veisovi za podnetné pripomienky a rady. Autor je taktiež zaviazaný vďakou prof. Dr. Ing. Ondrejovi Puchnerovi D.Sc. za cennú diskusiu nad rukopisom, ktorá autorovi umožnila upresniť konečnú formu a obsah článku.

LITERATÚRA

[1] Richards M., Krötsch M., Plaste und Kautschuk, 6 (1959), 68.  
 [2] Hájossy R., *Termická konštitúcia adiabatickou kompresiou*, Diplomová práca, 1963, str. 28—38.  
 [3] Ильюшин А. А., Денский В. С., *Сопромеченные материалы*, февраль 1959, 171.  
 [4] Беляев Н. М., *Сопромеченные материалы*, Пгтехиздат 1951, 614.  
 [5] Ильюшин А. А., Огибалов П. М., *Уруго-пластические деформации полая цилиндры*, Изд. Московского университета 1960, 92, 120.

Катедра экспериментальной физики  
 Приводоведческой факульты ЦК,  
 Братислава

Došlo 24. 1. 1967

SOME RELATIONS FOR HIGH-PRESSURE VESSEL  
 IN THE REGION OF ELASTIC-PLASTIC DEFORMATIONS  
 OPTIMAL CHOICE OF PARAMETERS  
 OF HIGH-PRESSURE VESSEL LOADED BY THE PRESSURE  
 OF SEVERAL THOUSAND ATMOSPHERES  
 Rudolf Hájossy

Summary

In this work, we have investigated a high-pressure vessel (later only HV), which consists of two tubes fitted one in the other and in which, owing to the initial difference  $\delta = c_2 - c_1 > 0$  in common radius  $c$  (Fig. 1), the residual stress is created.

Conditions (12) and (13) for the optimal choice of the parameters  $\delta$  and  $c$  in the elastic deformation region have been derived. It has been proved that the parameters  $\delta_{opt}$  and  $c_{opt}$ , chosen in this way, are realisable and, from the point of view of the elastic-plastic deformations, also optimal. HV with such parameters should be loaded at the maximum by the pressure (11) of  $p_{opt}$ .

The dependence of the maximum pressure  $p$  on the parameters  $\delta$  and  $c$  in the elastic-plastic deformation region has been determined. (By the maximum pressure  $p$  the HV is broken, i. e. plastic deformations reach the outer surface of the outer tube  $r = b$ .) It has also been proved that, from the point of view of the maximum pressure  $p$ , the region of values  $\delta$  within the interval (25) is the most advantageous. In all this region the maximum pressure  $p_{pl}$  is determined by the relation (26). Moreover, it has been shown that, from the point of elastic-plastic deformations, the investigated HV has no advantages with respect to the simple tube with the same thickness of the wall,  $b - a$ .

In the Appendix it has been demonstrated that the dependence (2D) of the yield stress  $\sigma_k$  on the tension causes the change of the maximum admissible pressure  $p_{pl}$  (26) into the pressure  $p_{\max}$  (13D). Furthermore, it has been shown that for  $a < 0,32b$ ,  $p_{\max}$  is greater than  $p_{pl}$ . The above mentioned dependence of the yield stress  $\sigma_k$  on the tension causes the change of the upper boundary  $\delta_{pl}$  (25) (of the optimal region of the values  $\delta$ ) into  $\delta_s$ . The change is qualitatively assessed (dashed line) in Fig. 7.

As an example, the computed parameters  $\delta$  and  $c$  for HV with  $a = 1,3$  cm,  $b = 10$  cm and the yield stress  $\sigma_k = 6000$  krcm<sup>-2</sup> are  $8 \cdot 10^{-3}$  and  $3,6$  cm respectively. With such parameters HV can be loaded at the maximum by the pressure  $p_{opt} \sim 6000$  krcm<sup>-2</sup> in the elastic deformation region (that represents a 1,7 fold increase of the admissible pressure in comparison with a simple tube with the wall thickness  $b - a$ ), and by the pressure  $p_{pl} \sim 14200$  krcm<sup>-2</sup> in the elastic-plastic deformation region. The effect of the dependence of the yield stress on the tension represents a 25 % increase of the pressure  $p_{pl}$ , i. e. it changes the value to  $p_{\max} \sim 17700$  krcm<sup>-2</sup>.